https://doi.org/10.12442/j.issn.1002-185X.20240136

离心铸造27Cr44Ni5W3Al+MA乙烯裂解炉管原始铸态组织研究

吴志刚,陈涛,刘春娇

(合肥通用机械研究院有限公司国家压力容器与管道安全工程技术研究中心中国石化炉管质量检测检验与评估中心,安徽 合肥 230031)

摘 要: 为了探明离心铸造 27Cr44Ni5W3Al+MA(微合金)乙烯裂解炉管的原始铸态组织,采用 XRD、OM、SEM 及 TEM 等对原始铸态炉管进行了相组成分析及显微组织表征。结果表明:炉管原始铸态组织主要为奥氏体基体(γ 相)和晶界鱼骨 状复相碳化物,其中复相碳化物内部为片层状 M_7C_3 ,边缘为块状 $M_{23}C_6$ 。此外,还观察到 2 种形态的 Ni₃Al(γ '相),分别为在 $M_{23}C_6$ 与基体交界处附近弥散分布的颗粒状及与 $M_{23}C_6$ 相邻的块状。 γ 相与 $M_{23}C_6$ 及颗粒状 γ 相之间均存在立方-立方的位向关系([101]_{γ}//[101]_{$M_{23}C_6$},(111)_{γ}//(111)_{$M_{23}C_6$},(111)_{γ}//(111)_{γ}//(111) γ //(111) γ

关键词: 乙烯裂解炉管; 27Cr44Ni5W3Al+MA; 铸态组织; 碳化物; 析出机制

中图法分类号: TG132.3+3

文献标识码: A

文章编号: 1002-185X(2025)04-0937-08

1 引 言

为延长乙烯裂解炉清焦周期,国内外研究者通过在 传统Fe-Cr-Ni系耐热合金基础上适当进行Al合金化[1-3], 开发了一系列抗结焦抗渗碳含铝耐热合金炉管[4-5]。其 中以德国 Schmidt-Clements 公司开发的 Centralloy HT E 合金炉管技术最为成熟,已成功在Sabic等公司多台裂解 炉上获得工业应用。该炉管通过在Fe-Cr-Ni系耐热合金 基础上添加一定量的AI元素,在炉管表面形成一层致 密、稳定的Al,O,保护膜,显著提高炉管的抗氧化性及抗 渗碳性[6-8],并降低炉管结焦速率。但进行AI合金化后, 炉管的高温持久性能较差,1100 ℃、17 MPa条件下持久 断裂时间仅20~30 h,与当前广泛应用的传统合金炉管 1100 ℃、16/17 MPa条件下130~180 h的持久断裂时间相 比,有一定差距。为提高炉管抗结焦抗渗碳性能并保证 良好的高温持久性能,国内在传统Fe-Cr-Ni系合金基础 上进行了适量的Al、W合金化,开发出27Cr44Ni5W3Al+ MA(微合金)合金炉管。

传统 Fe-Cr-Ni 系耐热合金平衡凝固状态下,室温组织应为奥氏体+共晶碳化物(M_{23} C₆),而非平衡状态下,结

晶析出 M_{γ} C₃型碳化物,且来不及转变为 M_{γ} C₆型碳化物, 离心铸造炉管原始铸态组织主要为奥氏体+M₂C₃型碳化 物[9-11]。而含铝改进型耐热合金炉管尚在开发应用的初 期阶段,其原始铸态组织的研究尚不系统、完善,Sun 等[12]研究了添加铝后奥氏体耐热钢的组织和性能演变, 研究发现25Cr20Ni合金原始铸态组织为典型的奥氏体 基体及骨架状共晶碳化物,添加约4.72wt%的Al后,组织 发生显著变化,观察到大量微小颗粒状Ni,Al(y'相)均匀 弥散分布在基体中。Yan等[13]在对比研究25Cr35Ni合金 和 AI 改性的 25Cr35Ni 合金炉管的循环渗碳行为的过程 中,发现铝改性合金炉管原始铸态组织主要为奥氏体基 体及层片状和条状 M_7 C₃碳化物,且碳化物外部包裹了一 层Ni,Al的界面层,经预氧化后,Al改性合金表面形成热 应力较低的完整 Al,O,保护层,有效保护基体免受碳侵 蚀。Facco等[14]在研究Al含量3wt%~5wt%的Fe-Cr-Ni-Al耐热合金炉管显微组织时,发现炉管原始铸态组织主 要由奥氏体基体及晶界和枝晶间 $M_{\tau}C_{\tau}$ 和 $MC(NbC_{\tau}TiC)$ 组成,同时凝固组织中还有v'相出现。27Cr44Ni5W3Al+ MA 合金在 Fe-Cr-Ni 合金基础上添加了一定的 Al 和 W 元素且降低了Nb元素含量,对其原始铸态组织的认识尚不明确。

本工作以27Cr44Ni5W3Al+MA离心铸造炉管为研究对象,研究其原始铸态组织的形貌及相组成,分析析出相的类型及其与基体的位向关系,探究原始铸态组织的析出机理,为后续进一步开展27Cr44Ni5W3Al+MA炉管服役过程中的组织演变奠定基础。

2 实 验

试验用27Cr44Ni5W3Al+MA合金化学成分见表1。 合金采用中频感应熔炼炉冶炼,钢液温度升至1650~ 1750℃时,将钢液浇注到放置有铝、铪、钛、锆、钇等活泼 元素的浇流槽中,浇流槽内充惰性气体;采用离心铸造工 艺制备炉管样件,钢液凝固成为离心铸造炉管样件。

X射线衍射分析:采用 D8 Advance 型X射线衍射仪对 炉管试样的组织构成进行分析,Cu $K\alpha$ 射线,管电压 40 kV,管电流 40 mA,扫描范围 2θ =20°~80°,扫描速率 3°/min。

显微组织观察及微区 EDS 能谱分析: 在炉管样件上取全壁厚金相块, 金相块经 600#、1000#及 2000#的金相砂纸磨制后抛光, 再经 10wt%的草酸溶液电解侵蚀, 电压 2~4 V,时间 5~15 s,制成金相试样。分别采用 GX53型 Olympus 光学金相显微镜和配有 OXFORD 能谱仪的 ZEISS Supra 40 场发射扫描电子显微镜的二次电子模式(SE)及能谱(EDS)进行低倍和高倍组织观察及成分分析。

TEM 观察分析:通过线切割在原始铸态炉管上取 $10 \, \text{mm} \times 10 \, \text{mm} \times 0.5 \, \text{mm}$ 厚的透射电镜样品,经 $600 \# \times 1000 \#$ 及 2000 # 的金相砂纸磨制,厚度降低至 $80 \sim 100 \, \mu \text{m}$,然后采用 Gatan $659 \, \text{透射电镜样品冲孔机制成} \, \Phi 3 \, \text{mm}$ 的圆片试样,通过 Gatan $623 \, \text{手动研磨盘进一步减薄至} \, 50 \sim 60 \, \mu \text{m}$,再

利用 Tenupol-5 电解双喷仪减薄成薄膜试样,双喷液为无水 乙醇+8%(体积分数)高氯酸溶液,温度-25~-20 ℃,最后经 Gatan 691 离子减薄仪减薄修整。采用配有 EDAX 能谱仪的 FEI Tecnai G2 20 S-Twin透射电子显微镜(200 kV)对薄膜试样进行观察及微区成分分析,明场像及电子衍射花样照片通过 Gatan CCD 相机进行采集。

3 结果与分析

3.1 XRD分析

图 1 给出了 27Cr44Ni5W3Al+MA 原始铸态炉管试样 XRD 分析结果。由图可见,炉管相结构主要为基体 γ 相、 M_{7} C₃和 M_{23} C₆,其中 γ 相观察到的衍射晶面为(111)、(200)和(220), M_{7} C₃观察到的衍射晶面为(411), M_{23} C₆观察到的衍射晶面有(420)、(422)和(440)。

3.2 组织形貌与元素成分

图 2 为炉管原始铸态组织的 OM 照片、SEM 照片及 EDS 谱图,图 2b 中标识位置处的 EDS 谱图见图 2c~2f,元素分析结果列于表 2。炉管原始铸态组织主要为 γ 相基体及胞状或鱼骨状复相碳化物,复相碳化物由外部亮白色的块状 M_{23} C₆及内部灰色片层状 M_{7} C₃组成,以块状 M_{23} C₆为主,块状 M_{23} C₆平均尺寸为 2~10 μ m。局部亮白色块状 M_{23} C₆碳化物边缘观察到暗黄色条块状 N_{13} Al(γ ′相)(图 2a),平均尺寸为 2~5 μ m,条块状 γ ′相主要伴随 M_{23} C₆析出,局部与 M_{23} C₆相连,呈暗灰色衬度(图 2b)。

3.3 TEM 观察

3.3.1 γ-M₂₃C₆的析出

图3 所示为炉管原始铸态组织中碳化物的 TEM 观察分析结果。图3a 为基体中块状碳化物的明场像,图3b、3c为基体与块状碳化物交界处的选区电子衍射(SAED)花样,

表1 27Cr44Ni5W3Al+MA 合金化学成分
Table 1 Chemical composition of the 27Cr44Ni5W3Al+MA alloy (wt%)

С	Si	Mn	P	S	Cr	Ni	W	Nb	Al	Ti	Zr
0.35	0.20	0.10	0.024	0.0052	26.72	44.22	5.19	0.07	3.36	0.053	0.029

SAED图中的B代表晶带轴方向。结果表明:铸态组织中 γ 相晶体结构为面心立方结构,晶格常数为 a_{γ} =0.3603 nm,碳化物相为 a_{c} =1.0877 nm的面心立方点阵的 $M_{23}C_{6}$, $M_{23}C_{6}$ 点阵常数约为奥氏体基体的 3 倍, γ - $M_{23}C_{6}$ 之间的错配度约为 0.6%,二者之间存在特定的位向关系:[101] γ //[101] $M_{23}C_{6}$, $(\bar{1}11)\gamma$ //($\bar{1}11$) $M_{23}C_{6}$, $(\bar{1}11)\gamma$ //(\bar

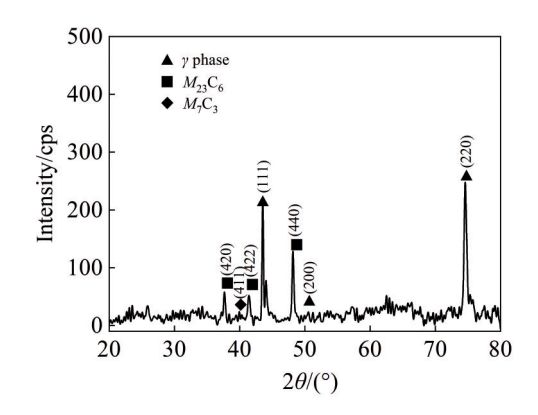


图 1 27Cr44Ni5W3Al+MA 原始铸态炉管 XRD 图谱 Fig.1 XRD pattern of as-cast 27Cr44Ni5W3Al+MA furnace tube

相和 M_{23} C₆之间存在共格界面,沿($\overline{1}11$)晶面测得的晶面间距分别为0.206(图3g)和0.618 nm(图3h),相同晶面条件下, M_{23} C₆的晶面间距约为 γ 相的3倍,这与图3b、3c的电子衍射分析结果相符。

3.3.2 γ-γ'相的析出

图 4 给出了碳化物附近弥散分布的颗粒状析出相的 TEM 明场像及 SAED 图。由图可见,在块状碳化物附近,白色奥氏体基体中局部观察到大量弥散分布的黑色小颗粒状 γ '相(图 4a),这种高密度的小颗粒状 γ '相平均尺寸为 5~20 nm(图 4b)。区域 B 处的(图 4b)SAED 图(图 4c、4d)中观察到两组衍射斑,较亮的衍射斑点来自于基体 γ 相和 γ '相,较弱的衍射斑点位于面心立方结构 γ 相的消光位置,属于 γ '相超点阵衍射斑点,其晶格常数为相的消光位置,属于 γ '之间的错配度约为 0.3%,二者之间存在特定位向的共格关系: $[101]_{\gamma}$ // $[101]_{\gamma}$, $(\bar{1}11)_{\gamma}$ // $(\bar{1}11)_{\gamma}$, $(\bar{1}11)_{\gamma}$, $(\bar{1}11)_{\gamma}$, $(\bar{1}11)_{\gamma}$, $(\bar{1}11)_{\gamma}$, $(\bar{1}11)_{\gamma}$, $(\bar{1}11)_{\gamma}$,

 $(220)_{y}$ // $(220)_{y'}$ (图 4d), 颗粒状y'相从基体y相中共格析出。

炉管铸态组织中局部观察到的块状 γ '相的 TEM 明场像、SAED 图及能谱分析结果见图 5。由图可见,炉管原始铸态组织中,局部有 γ '相以六边形块状析出,平均尺寸为 2~5 μ m (图 5a),晶格常数 a_{γ} =0.3742 nm (图 5b),能谱分析表明,块状 γ '相的化学成分(质量分数)为 Al: 9.20,Cr: 6.30,Fe: 6.10,Ni: 70.20,W: 8.20 (图 5c)。

3.3.3 γ-γ'-M₂₃C₆相的析出

图 6 为炉管原始铸态组织中析出相的 TEM 明场像及对应的 SAED 图。图 6a 中右侧块状析出相为 M_{23} C₆, M_{23} C₆左侧为基体 γ 相及基体中弥散分布的颗粒状 γ '相, M_{23} C₆与 γ 相之间观察到平直界面。图 6b、6c 为区域 A 处(图 6a)的 SAED 图,SAED 图中观察到 3 组电子衍射斑点,这是一组 γ 相、 γ '相及 M_{23} C₆三相复合衍射花样,最亮

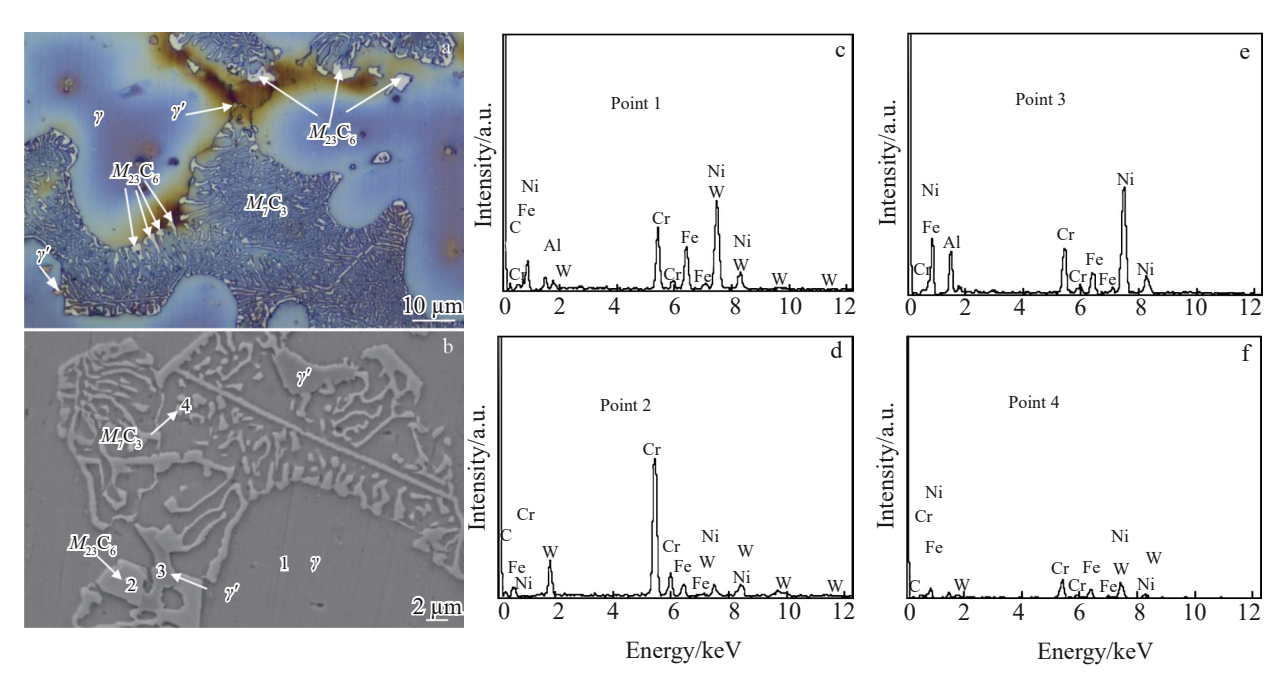


图2 27Cr44Ni5W3Al+MA 炉管原始铸态组织形貌和 EDS 能谱图

Fig.2 OM image (a) and SEM image (b) of as-cast 27Cr44Ni5W3Al+MA furnace tube; EDS spectra (c-f) of point 1-4 in Fig.2b: (c) γ phase, (d) $M_{23}C_{6}$, (e) γ' phase, and (f) $M_{2}C_{3}$

表2图2b中标识位置处的EDS分析结果

Table 2 EDS results of the identified locations in Fig.2b

Element -	Point 1		Point 2		Point 3		Point 4	
	wt%	at%	wt%	at%	wt%	at%	wt%	at%
С	9.22	32.28	9.64	34.92	-	-	16.24	48.63
Al	2.30	3.58	-	-	9.21	17.75	-	-
Cr	16.21	13.12	58.98	49.37	13.01	13.01	21.80	15.08
Fe	15.89	11.97	7.25	5.65	8.02	7.46	14.71	9.47
Ni	53.65	38.44	8.62	6.39	69.76	61.78	42.15	25.82
W	2.73	0.62	15.51	3.67	-	-	5.10	1.00

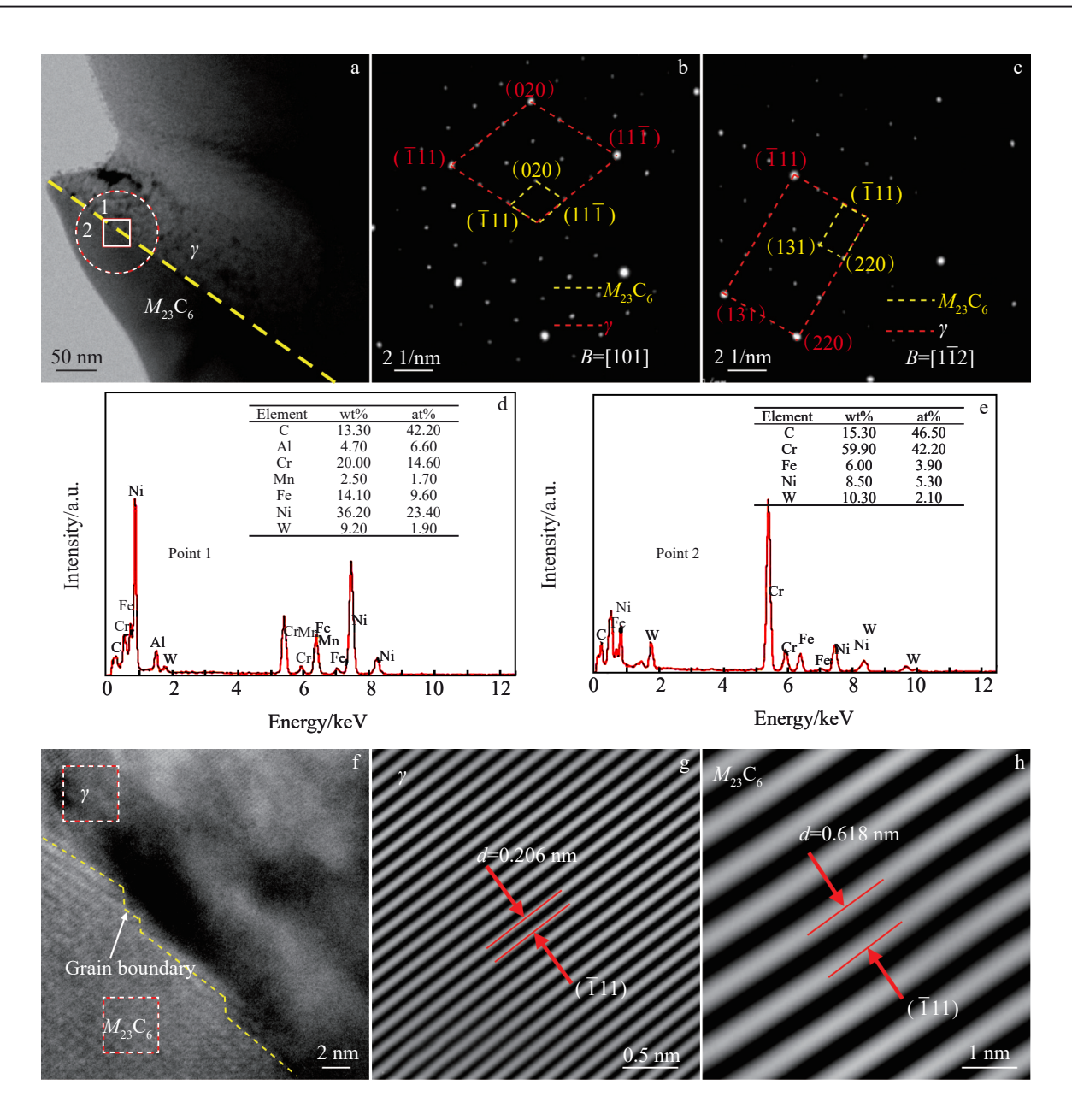


图3 27Cr44Ni5W3Al+MA炉管原始铸态组织中碳化物的TEM分析

Fig.3 TEM analyses of carbides in the as-cast 27Cr44Ni5W3Al+MA furnace tube: (a) bright-field TEM image of γ and $M_{23}C_6$, (b-c) SAED patterns along [101] and [1 $\overline{1}$ 2] directions at the circle area in Fig.3a, (d-e) EDS spectra of point 1-2 in Fig.3a, (f) HRTEM image of the rectangular area in Fig.3a, and (g-h) IFFT images of γ and $M_{23}C_6$ marked in Fig. 3f

的大斑点来自于 γ 相、 γ '相及 M_{23} C₆,较亮的小斑点来自 M_{23} C₆,微弱的斑点属于 γ '相的超点阵衍射斑。图 6b 晶带轴方向为[101], // [101], // [101]_{M₂₅C₆},图 6c 晶带轴方向为[112], // [112]_{M₂₅C₆},即 M_{23} C₆及颗粒状 γ '相与 γ 相保持立方-立方的位向关系,二者均由 γ 相中共格析出。

3.3.4 M₂₃C₆附近位错情况

TEM 明场像观察发现,在炉管原始铸态组织中存在着丰富的位错,如图 7 所示。在 γ 相内远离 M_{23} C₆碳化物的区域,分布着稀疏的位错线(图 7a),在 M_{34} C₆与 γ 相的

交界处,出现了较多的位错塞积和位错缠结,主要由刃位错(图 7b)、螺位错(图 7c)及位错网络(图 7d)组成,且越靠近 M_{3} C₆,位错密度越高。

4 讨论

4.1 M₂₃C₆析出

乙烯裂解炉管采用离心铸造技术制造成型,原始铸态组织属非平衡凝固组织,传统 Fe-Cr-Ni 系耐热合金炉管原始铸态组织主要由 γ 相、亚稳的 M_{7} C₃型碳化物及 MC (NbC) 型 碳 化 物 组 成[15-17]。 德 国 S+C 公司 开发的

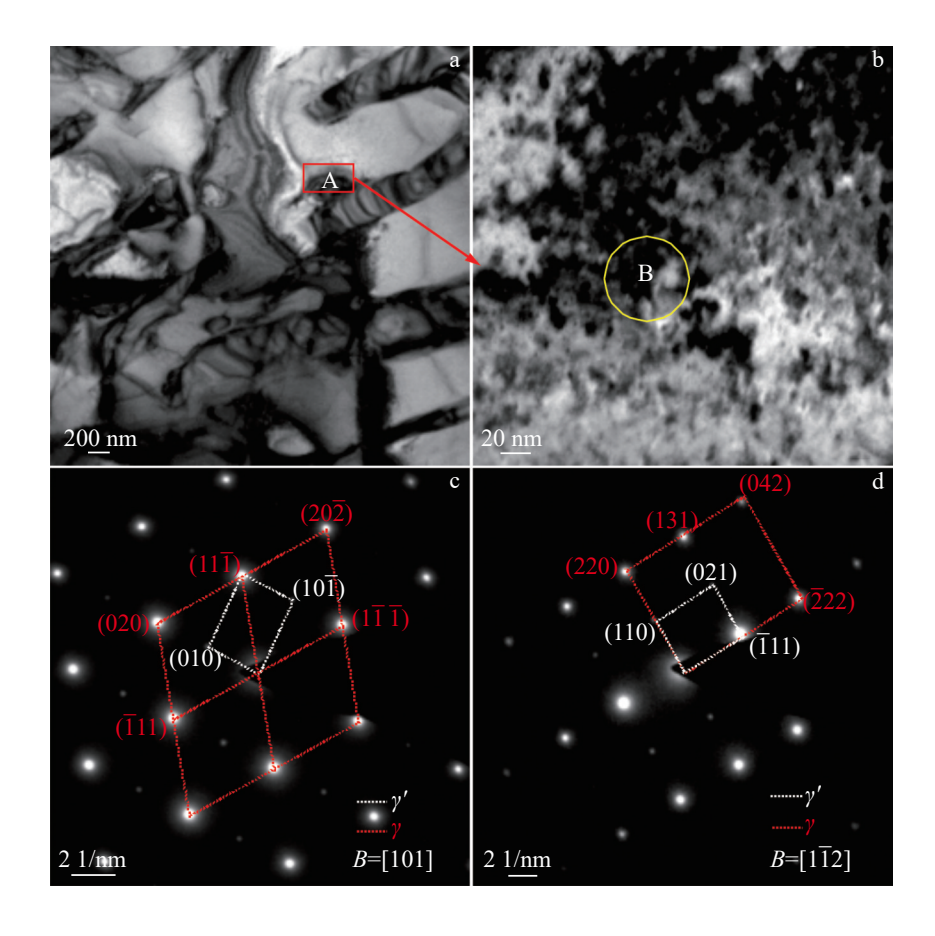


图4 27Cr44Ni5W3Al+MA炉管原始铸态组织中弥散γ'相TEM分析

Fig.4 TEM analyses of the dispersive γ' phase in the as-cast 27Cr44Ni5W3Al+MA furnace tube: (a) bright-field TEM image of γ and γ' , (b) magnified bright-field TEM image of region A in Fig.4a, and (c-d) SAED patterns along [101] and [$1\overline{1}2$] directions of region B in Fig.4b

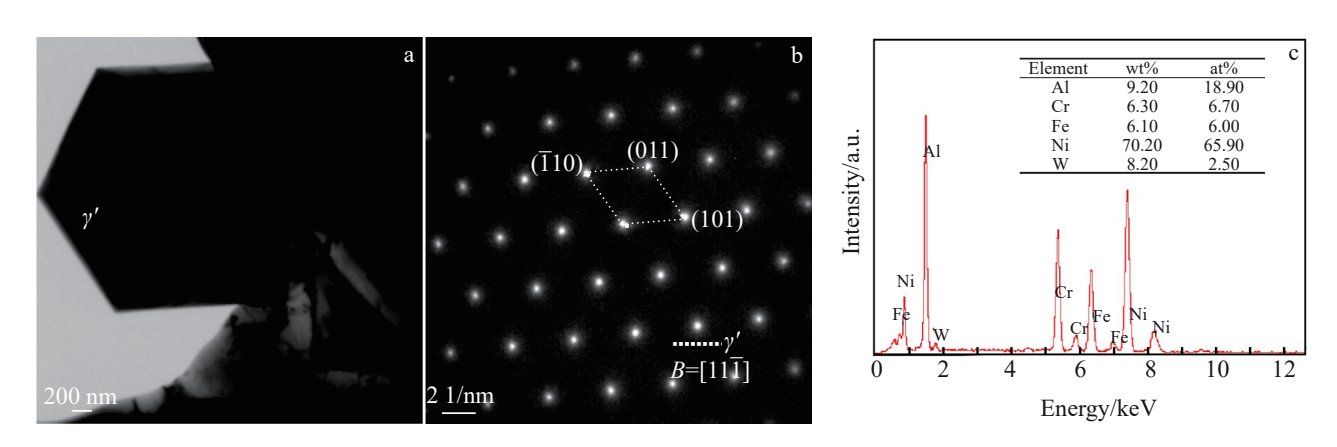


图5 27Cr44Ni5W3Al+MA炉管原始铸态组织中块状γ′相TEM分析

Fig. 5 TEM analyses of the blocky γ' phase in the as-cast 27Cr44Ni5W3Al+MA furnace tube: (a) bright-field TEM image, (b) SAED pattern along [11 $\overline{1}$] direction of the blocky γ' phase, and (c) EDS spectrum of the blocky γ' phase

Centralloy HT E 合金,在传统 Fe-Cr-Ni 系合金基础上添加了 3wt%~5wt%的 Al,其离心铸造炉管原始铸态组织主要由 γ 相、亚稳的 M_7 C $_3$ 型碳化物、MC(NbC)型碳化物及 γ ′相组成。 27Cr44Ni5W3Al+MA 合金在传统 Fe-Cr-Ni 系合金的基础上添加了约 3.5wt%的 Al 和 5wt%的 W,且显

著降低 Nb 含量至约 0.07wt%,其离心铸造炉管原始铸态组织中基体仍为 γ 相,晶界析出 $M_{23}C_6$ 与 M_7C_3 共存的共晶碳化物,同时奥氏体基体中观察到 γ '相析出。与传统耐热合金炉管原始铸态组织类似的是,27Cr44Ni5W3Al+MA炉管铸态组织中也有 M_7C_3 析出,不同的是,其铸态组

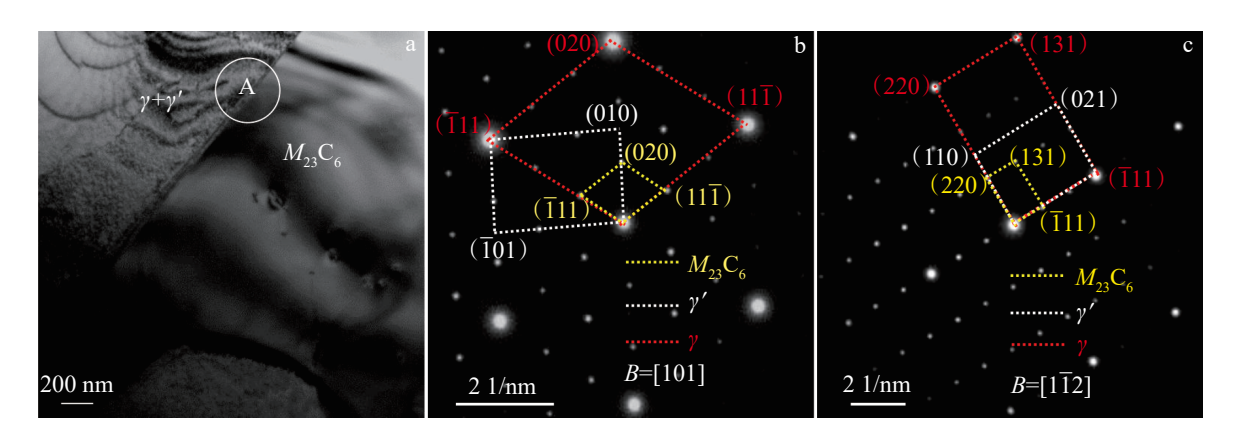


图 6 27Cr44Ni5W3Al+MA 炉管原始铸态组织中析出相 TEM 分析

Fig.6 TEM analyses of the precipitations in the as-cast 27Cr44Ni5W3Al+MA furnace tube: (a) bright-field TEM image, and (b-c) SAED patterns along [101] and [112] directions of region A in Fig.6a

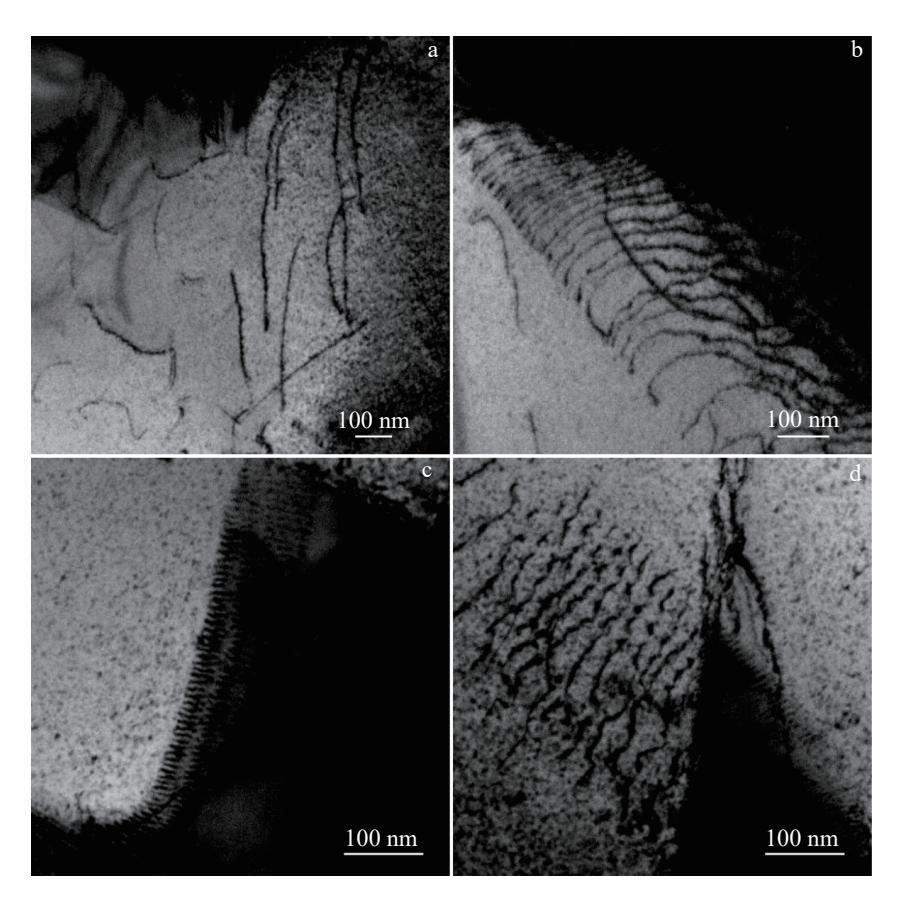


图7 27Cr44Ni5W3Al+MA炉管原始铸态组织中的位错

Fig. 7 Dislocations in the as-cast 27Cr44Ni5W3Al+MA furnace tube: (a) sparse dislocation lines away from the M_{23} C₆ region; (b) edge dislocation, (c) screw dislocation and (d) dislocation network near M_{23} C₆ region

织中还析出了 M_{23} C_6 和 γ' 相。

有研究表明,奥氏体耐热钢中Nb含量较低时可促进 $M_{23}C_6$ 析出,这是因为合金中的Nb含量在0.8wt%~1.5wt%时最有利于NbC的析出,Nb含量低导致NbC相的析出很少,基体中C含量较高,从而促进 $M_{23}C_6$ 的析出。27Cr44Ni5W3Al+MA合金中Nb含量显著低于NbC析出的最优成分下限,炉管铸态组织中未见MC

(NbC)型碳化物,因此,促进了 $M_{23}C_6$ 的析出。

同时,W元素的加入,也可促进 M_{23} C₆的析出,研究表明W元素可富集于 M_{23} C₆[19],降低 M_{23} C₆与 γ 奥氏体的错配度,从而提高 M_{23} C₆在铸造过程中的形核驱动力^[20],传统耐热合金炉管中 M_{23} C₆与 γ 相的错配度约为1.7%^[21],而本工作中观察到27Cr44Ni5W3Al+MA合金炉管中 M_{23} C₆与 γ 相的错配度仅约0.6%,其错配度较传统耐热合

金炉管降低了约50%,显著提高了 M_{23} C₆在离心铸造过程中的形核驱动力,促进了原始铸态组织中 M_{23} C₆的析出。

27Cr44Ni5W3Al+MA 合金离心铸造炉管原始铸态组织中观察到2种形态的 γ' 相,分别为细小颗粒状和块状。细小颗粒状 γ' 相主要分布在基体 γ 相与 M_{23} C₆的交界处,在 γ 相中弥散分布,平均尺寸为5~20 nm,这种形态的 γ' 相由于尺寸较小,在金相组织上难以辨识,通过TEM明场像及SAED图确定。块状 γ' 相尺寸相对较大,尺寸范围2~5 μ m,数量较少,分布较为分散,只在局部 M_{23} C₆边缘观察到,这类尺寸较大的 γ' 相在OM、SEM照片上均有发现,通过TEM明场像、SAED图及EDS谱图分析结果进一步证实。但这2种形态的 γ' 相的整体数量很少,在XRD衍射图谱中未见明显的 γ' 相的衍射峰。Al元素的添加,可在基体晶界处析出 γ' 相, γ' 相是一种具有L1₂结构的几何密堆相,晶格常数与 γ 相接近,多与基体共格结合 α' 122-241。 α' 23C₆的成分存在互补性,当 α' 24相析出时可排出 α' 3C₆所需要的Cr,从而促进 α' 3C₆的析出 α' 25-271。

4.2 M₂₃C₆周边位错

离心铸造过程中合金熔体快速凝固,合金中产生大量的空位,空位成为位错源头。同时炉管成型过程中会产生一定的内应力,内应力的存在不仅使得炉管凝固组织发生一定的塑性变形生成丰富的位错,而且还能促使空位聚集、崩塌同时引起位错的运动和增殖。位错的存在可为新相 $(M_{23}C_6)$ 的形核提供一定的驱动力,使得 $M_{23}C_6$ 容易在位错附近析出,而析出的 $M_{23}C_6$ 会阻碍γ相中位错的运动,导致 $M_{23}C_6$ 附近出现位错塞积,位错密度明显升高[28]。同时由于 $M_{23}C_6$ 时近出现位错塞积,位错密度明显升高[28]。同时由于 $M_{23}C_6$ 与γ相的比容存在差异,在 $M_{23}C_6$ 析出时必然在其周围产生一定的应力场或者产生一定的范性流变[21],在 $M_{23}C_6$ 附近往往观察到大量位错,局部有大量位错缠结住 $M_{23}C_6$,或在 $M_{23}C_6$ 周围形成位错网络。

5 结论

1)离心铸造 27Cr44Ni5W3Al+MA 炉管原始铸态组织中碳化物以块状 $M_{23}C_6$ 为主, $M_{23}C_6$ 与 M_7C_3 共存,在 $M_{23}C_6$ 附近观察到 2 种形态的 γ '相,分别为弥散分布的颗粒状和少量离散分布的块状。

2) γ - M_{23} C_6 、 γ -颗粒状 γ '相之间存在立方-立方的位向关系,其具体取向关系为: $[101]_{\gamma}$ // $[101]_{M_{23}C_6}$, ($\overline{1}11$) $_{\gamma}$ //($\overline{1}11$) $_{M_{23}C_6}$ ($11\overline{1}$) $_{\gamma}$ //($11\overline{1}$) $_{M_{23}C_6}$ [$1\overline{1}2$] $_{\gamma}$ // $[1\overline{1}2]_{M_{23}C_6}$ ($\overline{1}11$) $_{\gamma}$ //($\overline{1}11$) $_{M_{23}C_6}$ (220) $_{\gamma}$ //(220) $_{M_{23}C_6}$ [101] $_{\gamma}$ //[101] $_{\gamma}$, ($\overline{1}11$) $_{\gamma}$ //($\overline{1}11$) $_{\gamma}$ /, ($11\overline{1}$) $_{\gamma}$ //($11\overline{1}$) $_{\gamma}$ /; [$1\overline{1}2$] $_{\gamma}$ //($1\overline{1}1$) $_{\gamma}$ //($11\overline{1}$

3)炉管原始铸态组织中存在大量位错,远离 $M_{23}C_6$ 的基体中分布着稀疏的位错线,在 $M_{23}C_6$ 附近观察到密集位错,局部有大量位错缠结住 $M_{33}C_6$,局部 $M_{33}C_6$ 周围的

位错形成网络。

参考文献 References

- [1] Brady M P, Yamamoto Y, Santella M L et al. Scripta Materialia[J], 2007, 57: 1117
- [2] Xu X Q, Zhang X F, Chen G L et al. Materials Letters[J], 2011, 65(21–22): 3285
- [3] Wang K L, Chen F S, Leu G S. *Materials Science and Engineering A*[J], 2003, 357(1–2): 27
- [4] Zhang Yong (张 勇). Advances in Olefins Technology(烯烃技术 进展)[M]. Beijing: China Petrochemical Press, 2008
- [5] Wang Zizong(王子宗), He Xiou(何细藕). *Chemical Industry and Engineering Progress*(化工进展)[J], 2014, 33(1): 1
- [6] Ren Lei(任 雷), Fu Guangyan(付广艳), Liu Enze(刘恩泽) et al. Rare Metal Materials and Engineering(稀有金属材料与工程)[J], 2023, 52(11): 3857
- [7] Asteman H, Hartnagel W, Jakobi D. *Oxidation of Metals*[J], 2013, 80: 3
- [8] Wang Jian(王 健), Zhang Pingxiang(张平祥), Hu Rui(胡 锐) et al.

 Rare Metal Materials and Engineering(稀有金属材料与工程)[J],
 2015, 44(5): 1169
- [9] Guo J F, Cao T S, Cheng C Q et al. Engineering Failure Analysis[J], 2020, 115: 104610
- [10] Liu C J, Chen X D, Chen T et al. Materials at High Temperatures [J], 2016, 33(1): 98
- [11] Kondrat'ev S Y, Kraposhin V S, Anastasiadi G P et al. Acta Materialia[J], 2015, 100: 275
- [12] Sun Y F, Lv Y Z, Zhang Y et al. Materials Science and Technology[J], 2013, 29(5): 511
- [13] Yan J B, Gao Y M, Yang F et al. Corrosion Science[J], 2013, 67: 161
- [14] Facco A, Couvrat M, Magné D et al. Materials Science and Engineering A[J], 2020, 783: 139276
- [15] Guan Jiakun(关家锟). Petrochemical Industry Technology(石化技术)[J], 1997, 4(4): 216
- [16] de Almeida L H, Ribeiro A F, May I L. *Materials Characterization*[J], 2002, 49(3): 219
- [17] Sustaita-Torres I A, Haro-Rodríguez S, Guerrero-Mata M P et al. Materials Chemistry and Physics[J], 2012, 133(2–3): 1018
- [18] Xie Qimai(谢奇迈), Ma Qingshuang(马庆爽), Zhang Hailian(张海莲) et al. China Metallurgy(中国治金)[J], 2022, 32(7): 1
- [19] Zhang Yinhui(张银辉), Feng Qiang(冯强). Acta Metallurgica Sinica(金属学报)[J], 2017, 53(9): 1025
- [20] Medvedeva N I, Van D C, Medvedeva J E. Computational Materials Science[J], 2015, 96: 159
- [21] Qiao Guiwen(乔桂文), Wang Dehe(王德和), Cao Zhiben(曹智本). Acta Metallurgica Sinica(金属学报)[J], 1986, 22(4): 67
- [22] Han Xiaolei(韩小磊), Du Zhiwei(杜志伟), Che Cong(车 聪) et al. Rare Metal Materials and Engineering(稀有金属材料与工程)[J], 2023, 52(4): 1410
- [23] Cheng Yuan(程 远), Zhao Xinbao(赵新宝), Yue Quanzhao(岳全

- 召) et al. Rare Metal Materials and Engineering(稀有金属材料与工程)[J], 2023, 52(7): 2599
- [24] Xu Yangtao(徐仰涛), Wang Tongchao(王桐超), Lv Xin(吕 鑫). Rare Metal Materials and Engineering(稀有金属材料与工程)[J], 2023, 52(11): 3939
- [25] Bai Guanghai(柏广海), Hu Rui(胡 锐), Li Jinshan(李金山) et al. Rare Metal Materials and Engineering(稀有金属材料与工程)[J], 2011, 40(10): 1737
- [26] Hua Peitao(华培涛), Chen Sibo(陈斯博), Zhang Weihong(张伟红) et al. Aeronautical Manufacturing Technology(航空制造技术)[J], 2020, 63(3): 92
- [27] Zhang Wei(张 伟), Chen Zishuai(陈子帅), Dong Ruifeng(董瑞峰) et al. Rare Metal Materials and Engineering(稀有金属材料与工程)[J], 2023, 52(9): 3170
- [28] Lewis M H, Hattersley B. Acta Metallurgica[J], 1965, 13(11): 1159

As-cast Microstructure of Centrifugal-Cast 27Cr44Ni5W3Al+MA Ethylene Cracking Furnace Tube

Wu Zhigang, Chen Tao, Liu Chunjiao

(National Engineering & Technical Research Center on Pressure Vessels and Piping Safety, Sinopec Inspection and Assessment Center on Furnace Tube, Hefei General Machinery Research Institute Co., Ltd, Hefei 230031, China)

Abstract: To investigate the original as-cast microstructure of 27Cr44Ni5W3Al+MA ethylene cracking furnace tube manufactured by centrifugal casting, the phase composition and microstructure of the as-cast furnace tube were analyzed using XRD, OM, SEM and TEM. The results show that the original as-cast microstructure of the furnace tube is mainly composed of austenite matrix (γ phase) and fishbone-like multi-phase carbides at grain boundaries; the inside of the multi-phase carbides is lamellar $M_{\gamma}C_{3}$, while the edge is blocky $M_{23}C_{6}$. In addition, two shapes of Ni₃Al (γ ' phase) are observed, namely the granular phase distributed near the junction between $M_{23}C_{6}$ and matrix, and the blocky phase adjacent to $M_{23}C_{6}$. Both of $M_{23}C_{6}$ and granular γ ' have the cube-on-cube orientation relationship with the γ matrix ($[101]_{\gamma}$ // $[101]_{M_{23}C_{6}}$, ($\overline{1}11)_{\gamma}$ // ($\overline{1}11)_{M_{23}C_{6}}$, ($\overline{1}11)_{\gamma}$ // ($\overline{1}11)_{\gamma}$

Corresponding author: Wu Zhigang, Master, Hefei General Machinery Research Institute Co., Ltd, Hefei 230031, P. R. China, E-mail: wzgnwpu@163.com